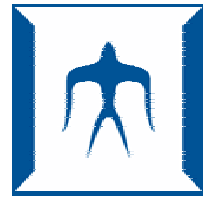


位置情報のみを用いた ロボットマニピュレータの制御について



FL06-31-03

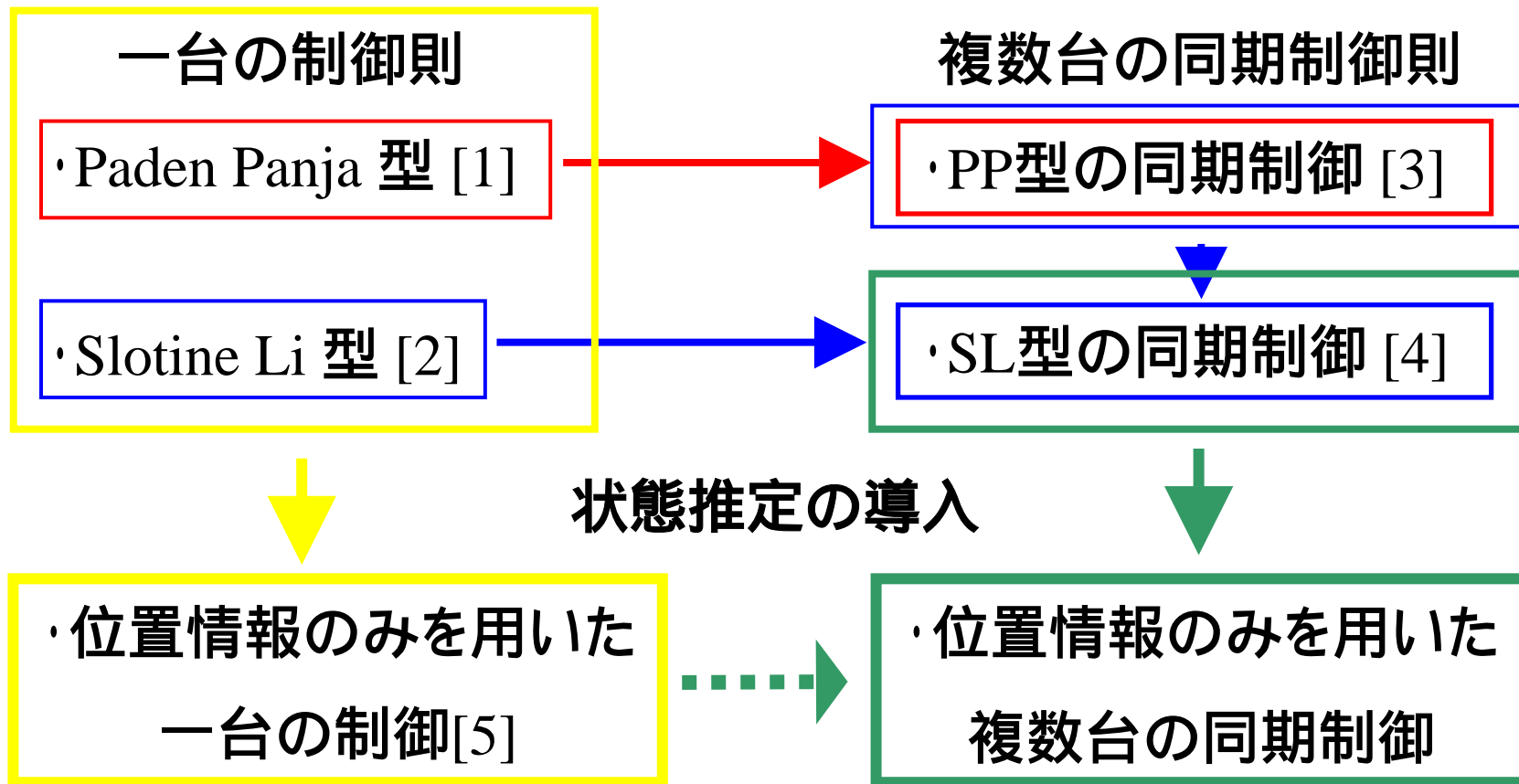
古関裕道



- 研究背景
- 問題設定 (状態を全て得られる場合)
- 1台のロボットマニピュレータの制御則
- 問題設定 (状態を得られない場合)
- 位置情報のみを用いた
1台のロボットマニピュレータの制御則
- 今後の課題



ロボットマニピュレータの制御則



[1] Paden Panja, Int. J. Control, 1988

[4] Yonemura, FL06-12-01, 2006

[2] Slotine Li, Int. J. Robotics Res. , 1987

[5] Berghuis Nijmeijer, IEEE. Trans. Robot. Automat., 1993

[3] Rodriguez Nijmeijer, IEEE Trans. on Control Systems Technology, 2004



• ロボットダイナミクス

n 自由度ロボットマニピュレータ

$$\underline{M(q)\ddot{q}} + \underline{C(q, \dot{q})\dot{q}} + \underline{g(q)} = \tau \quad (1)$$

慣性行列遠心力・重力項 q : 関節角度

コリオリカ項

τ : 入力トルク

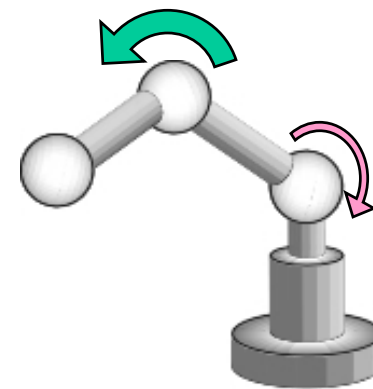


Fig.1 ロボットマニピュレータ

性質1 $\dot{M}(q) + 2C(q, \dot{q})$ は, 歪対称である.

さらに $C(q, \dot{q})$ は, 次の性質を満たすように選ぶ

$$C(q, x)y = C(q, y)x \quad \forall q$$

$$C(q, z + \alpha x)y = C(q, z)y + \alpha C(q, x)y \quad \forall q, x \quad \alpha \text{ scalar}$$

性質2 $M(q)$ と $C(q, \dot{q})$ は, q に関して次のような性質を持つ.

$$0 < M_m \leq \|M(q)\| \leq M_M \quad \forall q \quad A_m : \text{最小固有値}$$

$$\|C(q, x)\| \leq C_M \|x\| \quad \forall q, x \quad A_M : \text{最小固有値}$$



• 制御目標

$$\begin{cases} q = q_d & q_d : \text{目標関節角度} \\ \dot{q} = \dot{q}_d & \dot{q}_d : \text{目標角速度} \end{cases}$$

ロボットの状態が、
目標値と一致することを制御目標とする。

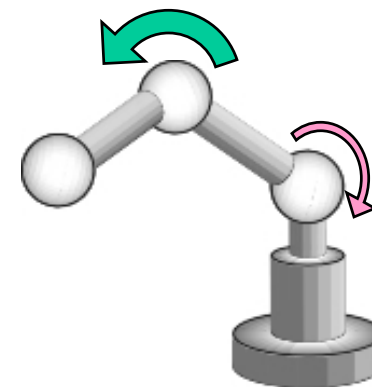


Fig.1 ロボットマニピュレータ

• 追従偏差

$$\begin{cases} e := q - q_d \\ \dot{e} := \dot{q} - \dot{q}_d \\ \ddot{e} := \ddot{q} - \ddot{q}_d \end{cases}$$

追従偏差をこのように定義すると、
追従偏差が0になれば、制御目標が達成されたことになる。



- 補助変数

$$\begin{cases} v := \dot{q}_d - \Lambda e \\ a := \ddot{q}_d - \Lambda \ddot{e} \\ r := \dot{q} - v \quad (= \dot{e} + \Lambda e) \end{cases}$$

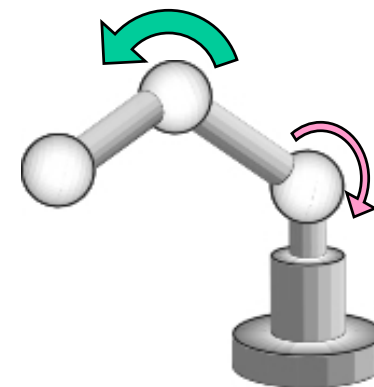


Fig.1 ロボットマニピュレータ

- コントローラ τ

$$\tau = M(q)a + C(q, \dot{q})v + g(q) - K_p e + v \quad (2)$$

- 制御入力 v

$$v = -K_d r \quad (3)$$

- 閉ループ

(1), (2), (3)より

$$M(q)\dot{r} = -C(q, \dot{q})r - K_d r - K_p e$$

K_d, K_p, Λ が正定行列ならば
偏差 e, \dot{e} は大域的に漸近安定



エネルギー関数: $V(e, r) = \frac{1}{2} r^T M(q) r + \frac{1}{2} e^T K_p e$

エネルギー関数の時間微分

$$\begin{aligned}\dot{V}(e, r) &= r^T M(q) \dot{r} + \frac{1}{2} r^T \dot{M}(q) r + e^T K_p \dot{e} \\ &= r^T M(q) M(q)^{-1} (-C(q, \dot{q}) r - K_p e + v) \\ &\quad + \frac{1}{2} r^T \dot{M}(q) r + e^T K_p \dot{e} \\ &\quad (\because (1), (3) \text{より } \dot{r} = M(q)^{-1} (-C(q, \dot{q}) r - K_p e + v)) \\ &= -r^T C(q, \dot{q}) r - r^T K_p e + r^T v + \frac{1}{2} r^T \dot{M}(q) r + e^T K_p \dot{e} \\ &= r^T v + \frac{1}{2} r^T (\dot{M}(q) - 2C(q, \dot{q})) r - (\dot{e} + \Lambda e)^T K_p e + e^T K_p \dot{e} \\ &\quad (\because \text{歪対称性より } r^T (\dot{M}(q) - 2C(q, \dot{q})) r = 0) \\ &= \dot{e}^T v - e^T \Lambda K_p e\end{aligned}$$



エネルギー関数の時間微分が入力 v と出力 r^T の積になっている
入力 v と出力 r^T の積を積分する

$$\begin{aligned}\int_0^t r^T(\sigma)v(\sigma)d\sigma &= \int_0^t \left(\dot{V}(e(\sigma), \dot{e}(\sigma)) + e(\sigma)^T \Lambda K_p e(\sigma) \right) d\sigma \\ &= V(e(t), \dot{e}(t)) - V(e(0), \dot{e}(0)) \\ &\quad + \int_0^t e(\sigma)^T \Lambda K_p e(\sigma) d\sigma \\ &\quad (\because \Lambda > 0, K_d \text{ は正定行列}) \\ &\geq -V(e(0), \dot{e}(0))\end{aligned}$$

入力 v から出力 r^T に関して **受動的** である。



リアプノフ関数の候補としてエネルギー関数 $V(e, \dot{e})$ を考える。

エネルギー関数の時間微分に制御入力(8)を適用すると

$$\dot{V}(e, r) = r^T (-K_d r) - e^T \Lambda K_p e$$

$$= -r^T K_d r - e^T \Lambda K_p e$$

$$< 0 \quad (\because K_d \text{は正定行列})$$

したがって補助変数 r と偏差 e は漸近安定

ここで補助変数 r の定義より,

$$e \rightarrow 0, r \rightarrow 0 \text{ ならば } \dot{e} \rightarrow 0$$

偏差 e, \dot{e} は漸近安定



問題設定: 3 状態が得られない場合

ロボットの状態のうち, 速度 \dot{q} が得られないとする.

制御目標

- ・コントローラ側
- ・オブザーバ側

$$\begin{cases} q = q_d \\ \hat{q} = q_d \end{cases} \quad \begin{cases} \hat{q} = q \\ \hat{\dot{q}} = \dot{q} \end{cases} \quad \begin{array}{l} \hat{q} : \text{推定関節角度} \\ \hat{\dot{q}} : \text{推定角速度} \end{array}$$

推定偏差

$$\begin{cases} e := q - q_d \\ \dot{e} := \dot{q} - \dot{q}_d \\ \ddot{e} := \ddot{q} - \ddot{q}_d \end{cases}$$

推定偏差

$$\begin{cases} \tilde{q} := q - \hat{q} \\ \tilde{\dot{q}} := \dot{q} - \hat{\dot{q}} \\ \tilde{\ddot{q}} := \frac{d}{dt}(\dot{q} - \hat{\dot{q}}) = \frac{d}{dt}\tilde{\dot{q}} \end{cases}$$

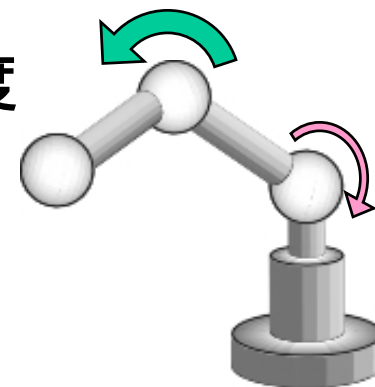


Fig.1 ロボットマニピュレータ

推定偏差をこのように定義すると, 推定偏差が0になった時, 推定値と実際の状態値が一致したことになる.



位置情報のみを用いた制御則

- 補助変数

$$\begin{cases} v := \dot{q}_d - \Lambda(\hat{q} - q_d) \\ a = \frac{d}{dt}(\dot{q}_d - \Lambda(\hat{q} - q_d)) \\ r_1 = \dot{q} - v := \dot{e} + \Lambda(e - \tilde{q}) \\ \dot{q}_o := \hat{\dot{q}} - \Lambda\tilde{\dot{q}} \\ r_2 = \dot{q} - \dot{q}_o := \tilde{\dot{q}} + \Lambda\tilde{\dot{q}} \end{cases}$$

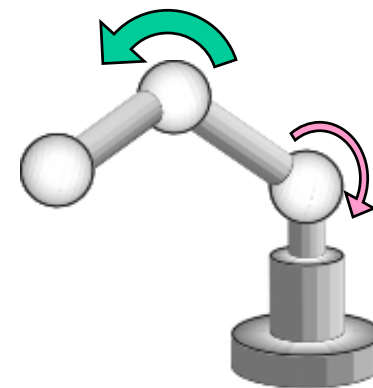


Fig.1 ロボットマニピュレータ

コントローラ τ

$$\tau = M(q)a + C(q, \dot{q}_o)v + g(q) - K_d(\dot{q}_o - v) - K_p e \quad (4)$$

オブザーバ

$$\begin{aligned} \frac{d}{dt} \hat{q} &= \hat{\dot{q}} + \mu_1 \\ \frac{d}{dt} \hat{\dot{q}} &= -M(q)^{-1}[C(q, \dot{q}_o)\dot{q}_o + g(q) - \tau] + \mu_2 \tilde{\dot{q}} \end{aligned} \quad (5)$$



• ダイナミクスとコントローラからなる閉ループ

(1), (4), より

$$M(q)\dot{r}_1 + C(q, \dot{q})r_1 + K_d r_1 + K_p e = K_d r_2 - C(q, r_2)v \quad (6)$$

• ダイナミクスとコントローラからなる閉ループ

(4), (5), より

$$M(q)(\dot{r}_2 + (\mu_1 - \Lambda)r_2) + C(q, \dot{q}_o)r_2 + K_d r_2$$

$$= M(q)\dot{r}_1 + C(q, r_1)(\dot{q} - r_2) + K_d r_1 + K_p e + M(q)(\mu_1 \Lambda - \mu_2 - \Lambda^2)\tilde{q}$$

(6)を用い, 性質に注意して書き直すと

$$M(q)\dot{r}_2 + C(q, r_2)(2\dot{q} - r_2)$$

$$+ M(q)[(\mu_1 - \Lambda)r_2 - (\mu_1 \Lambda - \mu_2 - \Lambda^2)\tilde{q}] = 0 \quad (7)$$

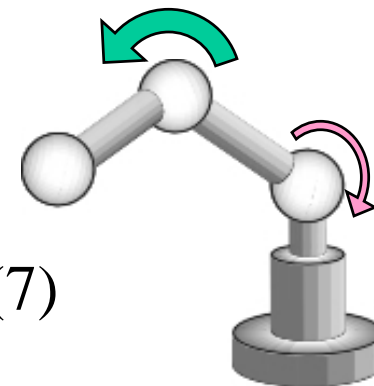


Fig.1 ロボットマニピュレータ



定理 次の条件が満たされる時,
システムは準大域的に指数安定となる.

$$\eta_0 > 0 \quad K_d > 0 \quad K_p > 0 \quad \Lambda > 0$$

$$\mu_1 > \frac{1}{M_m} \left(\frac{M_{v13}}{M_{v11}} + M_m \Lambda + C_M V_M + 2\eta_0 \right)$$

$$\mu_2 >$$

$$\max \left\{ \frac{1}{M_M} \left(\frac{\eta_0^2}{M_m} + (M_M \Lambda + \eta_0) \mu_1 + 2\eta_0 M_M^{-1} C_M V_M - M_M \Lambda^2 - \eta_0 \Lambda \right), \right. \\ \left. \frac{1}{(2 - M_m + \eta_0 \Lambda^{-1})} \left(\frac{M_{v24} \Lambda}{M_{v22}} - M_m (\mu_1 \Lambda - \Lambda^2) - 2\eta_0 M_m^{-1} C_M V_M \right) \right\}$$



仮定 ゲインは、全て次の性質を満たすとする。

$$K = kI \quad k > 0 \text{ scalar}$$

リアプノフ関数

$$H(r_1, e, r_2, \tilde{q}) = H_C(r_1, e) + H_O(r_2, \tilde{q}) \quad (8)$$

$$H_C = \frac{1}{2} r_1^T M(q) r_1 + \frac{1}{2} e^T K_p e$$

$$H_O = \frac{1}{2} \begin{bmatrix} r_2^T & \tilde{q}^T \end{bmatrix} \begin{bmatrix} M(q) & \eta(\tilde{q}) I_n \\ \eta(\tilde{q}) I_n & \mu_2 + \beta I_n \end{bmatrix} \begin{bmatrix} r_2 \\ \tilde{q} \end{bmatrix}$$

ここで、

$$\eta(\tilde{q}) = \frac{\eta_0}{1 + \|\tilde{q}\|} \quad 0 < \eta(\tilde{q}) \leq \eta_0 \quad \eta_0 \text{ scalar}$$

$$\beta = -M_M (\mu_1 \Lambda - \mu_2 - \Lambda^2) - 2\eta_0 M_m^{-1} C_M V_M - \eta_0 (\mu_1 - \Lambda) - \mu_2$$

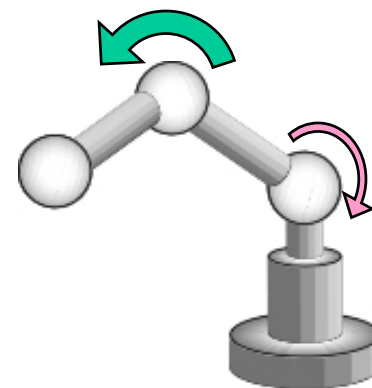


Fig.1 ロボットマニピュレータ



リアプノフ関数が正定であるための条件は

$$\mu_2 > \frac{1}{M_M} \left(\frac{\eta_0}{M_M} + (M_M \Lambda + \eta_0) \mu_1 + 2\eta_0 M_m^{-1} C_M V_M - M_m \Lambda^2 - \eta_0 \Lambda \right)$$

ここで, $x = [r_1 \quad r_2 \quad e \quad \tilde{q}]$ と置く

(8) のリアプノフ関数は,

ある P_m, P_M に関して, 次の関係を満たす

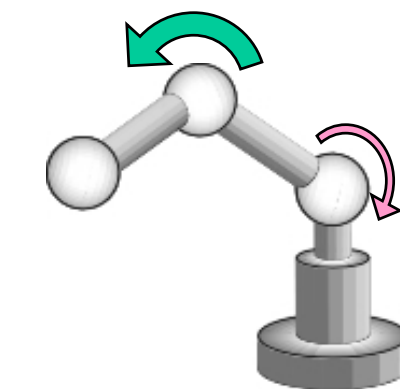


Fig.1 ロボットマニピュレータ

$$P_m \|x(t)\|^2 \leq H(x(t)) \leq P_M \|x(t)\|^2 \quad P_m, P_M > 0 \text{ scalar} \quad (9)$$



リアプノフ関数の時間微分は、次のような上限を持つ

$$\dot{H}(r_1, e, r_2, \tilde{q}) \leq -\begin{bmatrix} \|r_1\| & \|\Lambda e\| & \|r_2\| & \|\Lambda \tilde{q}\| \end{bmatrix} M_v \begin{bmatrix} \|r_1\| & \|\Lambda e\| & \|r_2\| & \|\Lambda \tilde{q}\| \end{bmatrix}^T + \|\Phi_3\|$$

$$\begin{aligned} \|\Phi_3\| &= C_M \|r_1\| \|r_2\| (\|\Lambda e\| + \|\Lambda \tilde{q}\|) + C_M \|r_2\|^2 (\|r_1\| + \|r_2\| + \|\Lambda e\| + \|\Lambda \tilde{q}\|) \\ &+ \eta_0 M_M^{-1} C_M \Lambda^{-1} \|\Lambda \tilde{q}\| \|r_2\| (2\|r_1\| + \|r_2\| + 2\|\Lambda e\| + 2\|\Lambda \tilde{q}\|) \end{aligned}$$

$$M_v = \begin{bmatrix} M_{v11} & 0 & M_{v13} & 0 \\ 0 & M_{v22} & 0 & M_{v24} \\ M_{v13} & 0 & M_{v33} & 0 \\ 0 & M_{v24} & 0 & M_{v44} \end{bmatrix} \quad \begin{aligned} M_{v11} &= K_d & M_{v22} &= \Lambda^{-1} K_p \\ M_{v33} &= (M_m (\mu_1 - \Lambda) - C_M V_M - 2\eta_0) \\ M_{v44} &= (2\mu_2 + M_m (\mu_1 \Lambda - \mu_2 - \Lambda^2) \\ &\quad + 2\eta_0 M_m^{-1} C_M V_M + \eta_0 \mu_2 \Lambda^{-1}) \Lambda^{-1} \\ M_{v12} &= -\frac{1}{2} (K_d + C_M V_M) \\ M_{v23} &= -\frac{1}{2} (K_p \Lambda^{-1}) \end{aligned}$$



行列 M_v が正定となる条件は,

$$\eta_0 > 0 \quad K_d > 0 \quad K_p > 0 \quad \Lambda > 0$$

$$\mu_1 > \frac{1}{M_m} \left(\frac{M_{v13}}{M_{v11}} + M_m \Lambda + C_M V_M + 2\eta_0 \right)$$

$$\mu_2 > \frac{1}{(2 - M_m + \eta_0 \Lambda^{-1})} \left(\frac{M_{v24} \Lambda}{M_{v22}} - M_m (\mu_1 \Lambda - \Lambda^2) - 2\eta_0 M_m^{-1} C_M V_M \right)$$

$x = [r_1 \quad r_2 \quad e \quad \tilde{q}]$ より

$$\dot{H}(r_1, e, r_2, \tilde{q}) \leq \|x\|^2 (-M_{v,m} + \alpha \|x\|)$$

ここで α は, $\|\Phi_3\|$ から求まる係数で,

$$\alpha = (6 + 7\eta_0 M_M^{-1} \Lambda^{-1}) C_M$$



M_v はゲイン μ_1 に比例するが, α は比例しない.

よって, μ_1 を大きくしていくと, いずれ次の関係を満たすようになる.

$$\dot{H}(r_1, e, r_2, \tilde{q}) \leq \|x\|^2 (-M_{v,m} + \alpha \|x\|) < 0$$

よって, 次式を満たす κ が存在し, $\dot{H}(r_1, e, r_2, \tilde{q})$ は上限を持つ.

$$\dot{H}(r_1, e, r_2, \tilde{q}) \leq -\kappa \|x\|^2 \quad \kappa > 0 \text{ scalar} \quad \forall t > 0 \quad (10)$$

(9), (10)より次の関係を満たす $m, \rho > 0$ が, 存在する.

$$\|x(t)\|^2 \leq m e^{-\rho t} \|x(0)\|^2 \quad \forall t > 0$$

よって, $x \rightarrow 0 \Leftrightarrow r_1, e, r_2, \tilde{q} \rightarrow 0 \Leftrightarrow \dot{e}, e, \dot{\tilde{q}}, \tilde{q} \rightarrow 0$ となり,

この閉ループは準大域的に指数安定となる.

指数安定が保証される領域は,

$$\beta_C = \left\{ x \mid \|x\| < \frac{M_{v,m}}{\alpha} \sqrt{\frac{P_m}{P_M}} \right\}$$



- 受動性の確認
- 保守的な条件を緩める
- シミュレーション, 実機による実験

- 複数台の制御への適用

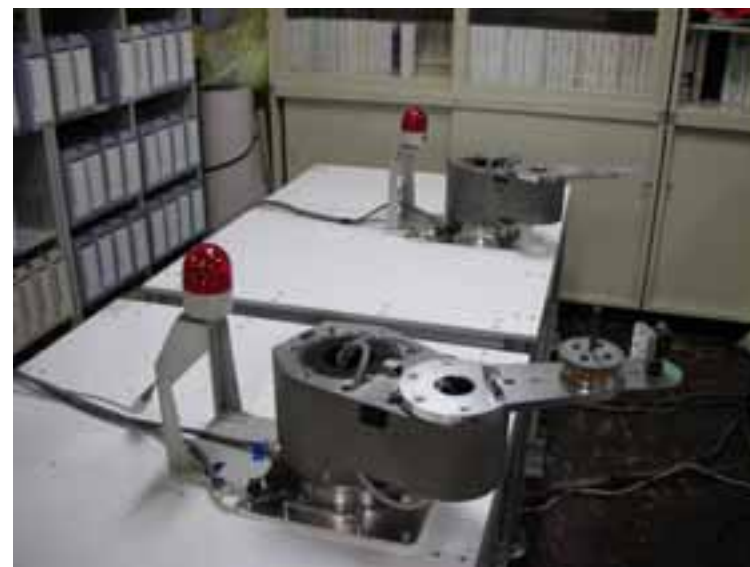
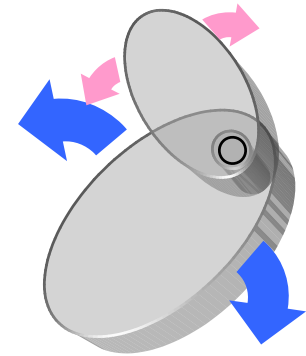
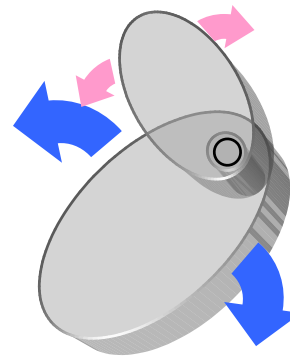
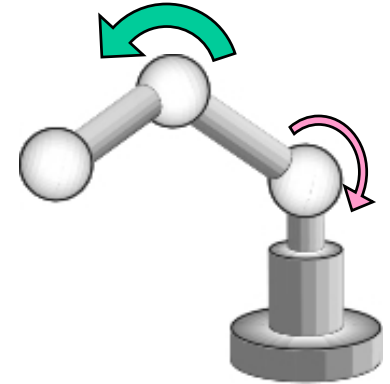
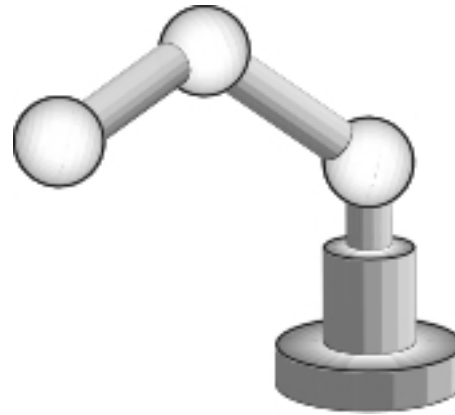
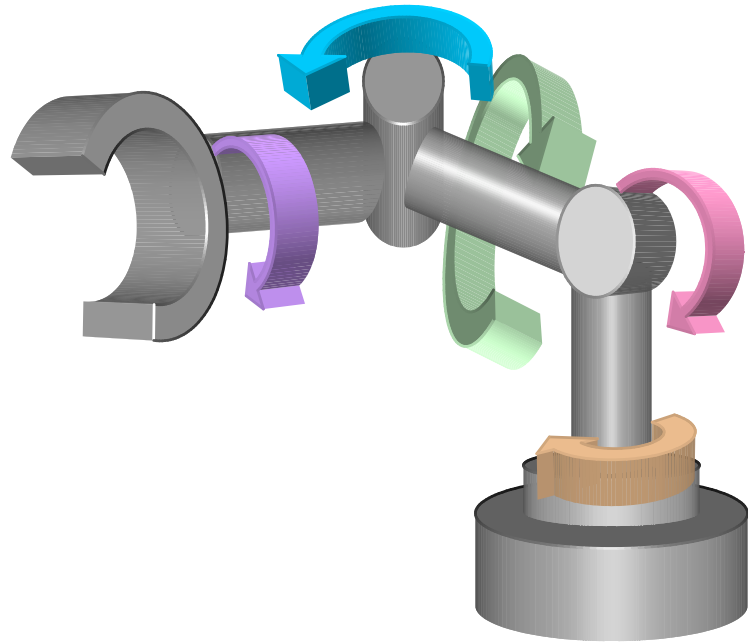


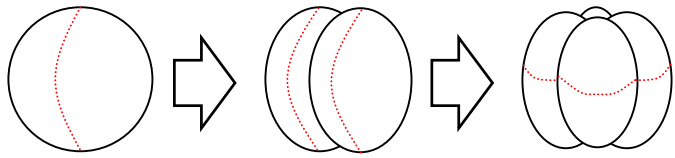
Fig.2 SISE-DD Arm



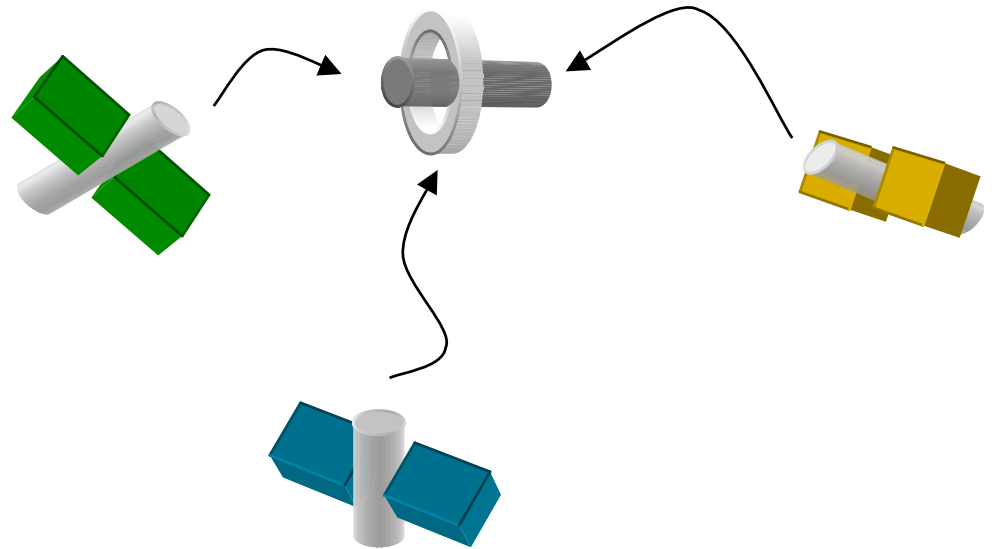


図：ロボットマニピュレータ





卵割
cleavage division



人工衛星の集合
Rendezvous